

- rings for tracheomalacia: a review after 17 years [J]. Laryngoscope, 2007, 117: 1741 - 1744.
- [24] Sura PA, Krahwinkel DJ. Self-expanding nitinol stents for the treatment of tracheal collapse in dogs: 12 cases (2001-2004) [J]. J Am Vet Med Assoc, 2008, 232: 228 - 236.
- [25] Shin JH, Song HY, Seo TS, et al. Influence of a dexamethasone-eluting covered stent on tissue reaction: an experimental study in a canine bronchial model [J]. Eur Radiol, 2005, 15: 1241 - 1249.
- [26] Hwang JC, Song HY, Kang SG, et al. Covered retrievable tracheobronchial hinged stent: an experimental study in dogs [J]. J Vasc Interv Radiol, 2001, 12: 1429 - 1436.
- [27] Marquette CH, Mensier E, Copin MC, et al. Experimental models of tracheobronchial stenoses: a useful tool for evaluating airway stents [J]. Ann Thorac Surg, 1995, 60: 651 - 656.
- [28] Tsakayannis DE, Siddiqui AM, Kozakewich H, et al. The use of expandable metallic stents for acute tracheal stenosis in the growing lamb [J]. J Pediatr Surg, 1998, 33: 1038 - 1041.
- [29] Moritz A, Schneider M, Bauer N. Management of advanced tracheal collapse in dogs using intraluminal self-expanding biliary wallstents [J]. J Vet Intern Med, 2004, 18: 31 - 42.
- [30] Kim JY, Han HJ, Yun HY, et al. The safety and efficacy of a new self-expandable intratracheal nitinol stent for the tracheal collapse in dogs [J]. J Vet Sci, 2008, 9: 91 - 93.
- [31] Sawada S, Tanabe Y, Fujiwara Y, et al. Endotracheal expandable metallic stent placement in dogs [J]. Acta Radiol, 1991, 32: 79 - 80.

(收稿日期:2008-10-27)

•病例报告 Case report•

感染性海绵窦血栓形成长期影像学随访一例

谢 剑, 李明华

【关键词】海绵窦血栓形成; 动眼神经麻痹; 核磁共振; 上颌窦炎

中图分类号: R743 文献标识码: D 文章编号: 1008-794X(2009)-01-0076-01

Infectious cavernous sinus thrombosis with radiological follow-up of 16 months: a case report XIE

Jian, LI Ming-hua. Department of Diagnostic and Interventional Radiology, Shanghai Municipal Sixth Hospital; Shanghai Jiaotong University, Shanghai 200233, China (J Intervent Radiol, 2009, 18: 76)

【Key words】cavernous sinus thrombosis; oculomotor nerve palsy; magnetic resonance imaging; maxillary sinusitis


患者女, 51 岁。无诱因发现视物模糊, 右侧睁眼困难 2 周入院。入院诊断为右动眼神经麻痹。既往有高血压病史和颈椎病史, 无糖尿病史。体检: 神清, 语言流利, 右眼睑不完全性下垂, 眼裂: 左 8 mm、右 4 mm, 右瞳孔直径 0.4 cm, 左瞳孔直径 0.3 cm。右眼向内、上、下均受限, 外展无露白, 无其他异常体征。体温: 36.5℃, 血压: 140/90 mmHg, 心律: 73 次/min, 律齐。实验室检查: 白细胞 $10.4 \times 10^9/L$, 中性粒细胞 0.80, 淋巴细胞 0.15, 中性粒细胞绝对值 $8.4 \times 10^9/L$ 。脑脊液检查(-), 血糖正常。1 周后复查血常规正常。

患者发病后 1 周 MRI 平扫可见右侧海绵窦较对侧略扩大, 内见片状异常信号, 冠状位 T1WI(A)为低信号, T2WI(B)为高信号, 增强后可见强化(C)。另见右侧上颌窦黏膜增厚, T2WI 为高信号。为上颌窦炎症表现(L)。发病后 1 个月患者 MRI 复查, 右侧海绵窦见明显异常信号, T1WI (D)和

T2WI(E)均为低信号, 增强后(F)病灶未见强化。右侧颈内动脉管腔较对侧略为细小。同期 CT 平扫(J)可见病灶为高密度。骨窗未见骨质破坏。诊断为海绵窦血栓形成。予以泼尼松龙治疗, 丹参、苦碟子活血化瘀, 硝苯地平降压, 哌拉西林抗炎以及积极对症处理。右眼向下运动改善, 病情稳定, 予以出院门诊随访。出院后患者继续药物治疗, 病情一直较为稳定, 症状逐步改善。发病后 4 个月 MRI 右侧海绵窦病灶信号又发生变化。T1WI 和 T2WI 均为高信号, 增强后未见强化。头颅 3D-TOF-MRA(K)示病灶位于右侧颈内动脉海绵窦段外侧, 脑 MRA 未见明显异常。同期 CT 检查可见平扫病灶为等密度, 增强后病灶内部无强化。发病后 16 个月患者右侧海绵窦病变基本消失(G-I)。

(收稿日期:2008-06-16)

感染性海绵窦血栓形成长期影像学随访一例

作者: [谢剑, 李明华, XIE Jian, LI Ming-hua](#)
作者单位: [上海交通大学附属上海市第六人民医院介入影像科, 200233](#)
刊名: [介入放射学杂志](#) 
英文刊名: [JOURNAL OF INTERVENTIONAL RADIOLOGY](#)
年, 卷(期): 2009, 18 (1)
被引用次数: 0次

本文链接: http://d.wanfangdata.com.cn/Periodical_jrfsxzz200901021.aspx

授权使用: qknfy(qknfy), 授权号: d070baf1-a240-4fe5-875c-9df200e7b9d1

下载时间: 2010年9月15日